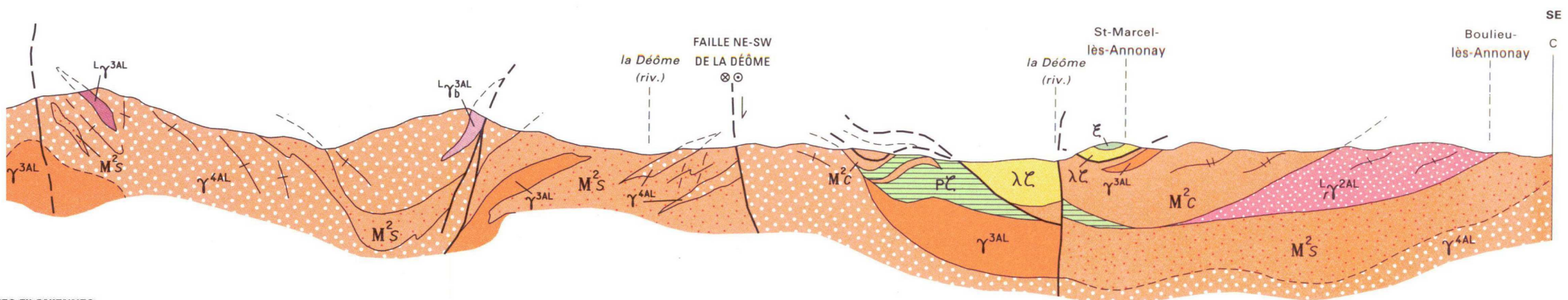
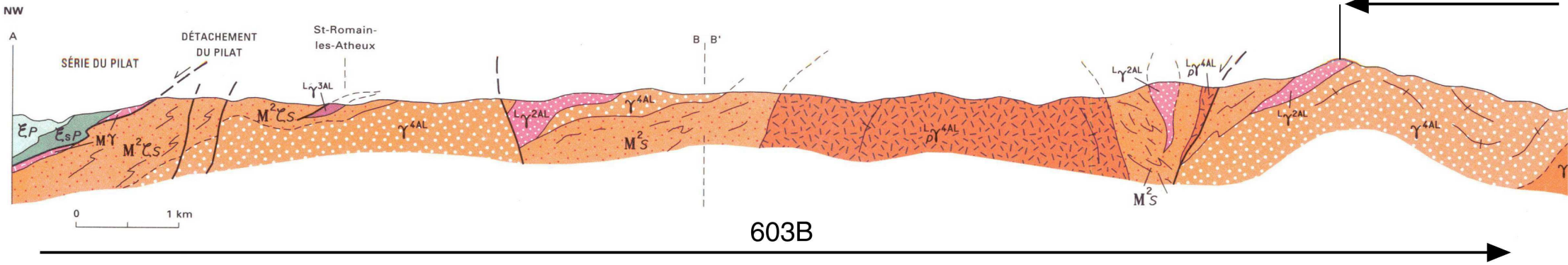


D'après les cartes de vulnérabilité des eaux souterraines à la pollution au 1/50 000 de Tournon et Valence



ROCHES FILONIENNES

- $L\gamma_{3AL}$ Leucogranite à biotite et muscovite
- $L\gamma_{3AL}$ - en filons
- $L\gamma_{3AL}$ - en massifs

FORMATIONS GRANITIKES DU VELAY

- $L\gamma_{4AL}$ Leucogranodiorite monzonitique peralumineuse à biotite, porphyrique
- γ_{3AL} Granite monzonitique à biotite et cordiérite

FORMATIONS MÉTAMORPHIQUES ET EFFETS DE LA MIGMATISATION VELLAVE

- SÉRIES DE BASSE PRESSION DU PILAT ET DU VIVARAIS OCCIDENTAL**
- Série micaschisteuse du Pilat**
- \mathcal{E}_P \mathcal{E}_{aP} Micaschistes à deux micas, cordiérite et andalousite (a)
 - \mathcal{E}_{sP} Micaschistes à sillimanite et cordiérite

- Série micaschisteuse de la synforme de St-Marcel-lès-Annonay**
- \mathcal{E} Micaschistes et gneiss fins à deux micas, parfois à cordiérite

Séries gneissiques du Vivarais occidental

- Lignée sombre : paragneiss et migmatites
- $P\mathcal{C}$ Gneiss fins sombres à biotite, cordiérite et orthose

- M^2_S M^2_{CS} Anatexites sombres à cordiérite et/ou sillimanite ; faciès gneissique (\mathcal{C})

- γ_{4AL} Monzogranodiorite hétérogène à cordiérite

Séries gneissiques du Vivarais occidental (suite)

- Lignée claire : leptynites, orthogneiss leptynitiques et migmatites
- Complexe leptyno-gneissique : gneiss leptynitiques et leptynites à orthose et sillimanite, parfois à rubans de quartz (r)
- $\lambda\mathcal{C}$ $r\lambda\mathcal{C}$ Leptynite massive à ellipsoïdes micacés
 - λb

- M^2_C M^2_{CC} Anatexites claires à biotite, sillimanite et parfois grenats ou cordiérite (c)

- $L\gamma_{2AL}$ $L\gamma_{2AL}$ Leucogranite monzonitique hétérogène à cordiérite, parfois rubané (r)

- $M\gamma$ Granite leucocrate migmatitique

Extrait de la carte géologique au 1/50 000 de Annonay (feuille 769)